

## جداسازی کروم (VI) از فاضلاب آبکاری با استفاده نانوذره مغناطیسی آهن

تکتم شهریاری<sup>۱\*</sup>، زینب مجتهدزاده<sup>۱</sup>

۱. گروه مهندسی محیط‌زیست، دانشکده محیط‌زیست، دانشگاه تهران، تهران، ایران

### چکیده

فاضلاب صنعت آبکاری، حاوی مقدار بالایی فلز کروم می‌باشد. در این تحقیق حذف کروم (VI) توسط نانوذره مغناطیسی  $\text{Fe}_3\text{O}_4$  از فاضلاب صنعت آبکاری مورد مطالعه قرار گرفت. فاضلاب مورد آزمایش از کارگاه آبکاری واقع در شهرک صنعتی پایتخت تهیه گردید. نانوذره مورد آزمایش دارای قطر متوسط ذرهای ۳۰ نانومتر بود. در این تحقیق پارامترهای pH، میزان نانوذره، مدت زمان واکنش، دما و تأثیرات آن‌ها بر فرایند جذب مورد بررسی قرار گرفت. نتایج نشان داد، حذف بهینه کروم در مدت زمان ۶۰ دقیقه و pH حدود ۳، میزان نانوذره ۱ g/L در دمای ۲۵°C به دست آمد. همچنین به منظور بررسی مکانیزم جذب، ثابت ایزوترم‌های لانگمویر و فرونديلیچ با داده‌ها تطبیق داده شد. نتایج نشان داد که ایزوترم فرونديلیچ مدل مناسب‌تری می‌باشد. برای بررسی سینتیک جذب از مدل‌های شبه کاذب درجه اول و دوم استفاده شد که سینتیک جذب کروم از مدل درجه دوم پیروی کرد.

### مشخصات مقاله

تاریخچه مقاله:	۹۴ خرداد ۳۱
دریافت:	۹۴ آذر ۲۵
دریافت پس از اصلاح:	۹۴ بهمن ۱۸
پذیرش نهایی:	۹۴ بهمن ۱۸
كلمات کلیدی:	جذب فاضلاب آبکاری فلز سمی کروم نانوذره مغناطیسی

حقوق ناشر محفوظ است.

\* عهده‌دار مکاتبات  
[Tshshahriari@ut.ac.ir](mailto:Tshshahriari@ut.ac.ir)

کادمیوم روی نانوذره  $\text{CuFe}_2\text{O}_4$  و حذف آن از محیط‌های آبی نشان داد که با افزایش pH از ۲ به ۶ میزان جذب از ۰/۸۵ به ۹۹/۹٪ افزایش یافت [۱۵]. حذف کروم (VI) توسط نانوذرات مغناطیسی آهن با گروه عاملی ناشاسته از محیط آبی نشان داد که بالاترین ظرفیت جذب در pH حدود ۲ صورت گرفته و غلظت اولیه کروم ۴ mg/L بود [۱۶]. تحقیقات مذکور کارایی بالای نانوذرات را در حذف و جداسازی آلایینده‌ها نشان داد. تحقیقات انجام شده نشان می‌دهد که حذف آلایینده‌ها توسط نانوذرات مغناطیسی در محیط آبی صورت گرفته است. برای افزایش کیفیت پساب جهت استفاده در آبیاری زمین‌های کشاورزی و دفع آن به آبهای سطحی و چاه، فناوری باید در عمل قادر به حذف طیف گسترده‌ای از آلایینده‌ها باشد؛ بنابراین در این تحقیق حذف کروم (VI) با غلظت بالا از فاضلاب آبکاری توسط نانوذره مغناطیسی آهن مورد آزمایش قرار گرفته و فلز سمی قابل جداسازی از نانوذره و استفاده مجدد در صنعت مورد ذکر می‌باشد.

## ۲- مواد و روش‌ها

### ۲-۱- مواد

نانوذره مغناطیسی  $\text{Fe}_3\text{O}_4$  مورد استفاده در آزمایش‌های این مطالعه دارای اندازه متوسط ذره‌ی ۳۰ نانومتر، درصد خلوص ۹۹٪ و سطح ویژه  $\text{m}^2/\text{g}$  ۵۵ بود. از سود و اسید سولفوریک مرک آلمان برای تهیه محلول‌های  $\text{N}_{1/10}$  به ترتیب برای تنظیم pH محلول و احیا دانه‌های مغناطیسی استفاده شد.

از همزن Metrohm pH متر 691 IKA RCT basic ترازوی دیجیتالی METTLER AE200 استفاده شد. مقدار UV-Vis Spectrophotometer, HACH, Cr(VI) DR5000 اندازه‌گیری شد.

### ۲-۲- روش

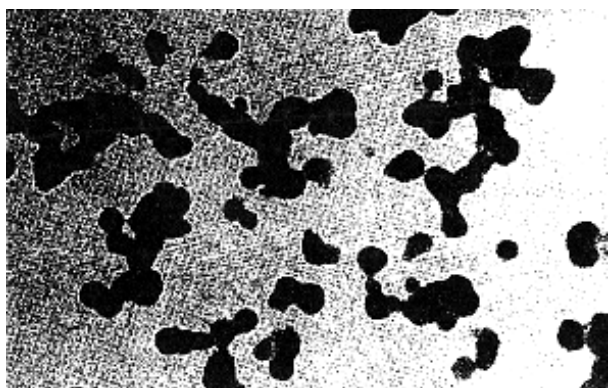
ابتدا فاضلاب تهیه شده از کارگاه آبکاری زمانی واقع در شهرک صنعتی پایتخت به منظور حذف آلایینده کروم تحت آزمایش قرار گرفت. مقدار کروم (VI) موجود در آن ۵۰۰۰ میلی‌گرم بر لیتر گزارش شد. این پساب در ابتدا pH حدود ۱ داشت. فاضلاب کروم دار در تماس با نانوذره مغناطیسی  $\text{Fe}_3\text{O}_4$  قرار گرفت. پس از انجام آزمایش پساب حاصل برای اندازه‌گیری میزان کروم جمع‌آوری شد. جاذب حاوی آلایینده از طریق میدان مغناطیسی خارجی آهنربای نعلی جدا شد.

### ۱- مقدمه

به دلیل وجود عناصر و ترکیبات سمی و مضر در فاضلاب‌های صنعتی، تخلیه آن‌ها به محیط‌زیست منجر به آلودگی‌های زیست‌محیطی فراوانی می‌شود [۱]. فاضلاب صنایع آبکاری، دباغی، نساجی، رنگ و صنایع فلزی حاوی مقدار زیادی کروم هستند [۲، ۳، ۴، ۵].

آبکاری صنعتی است که طی آن سطح یک فلز از طریق واکنش‌های الکتروشیمیایی با فلزی مانند کروم روش می‌شود. اصطلاح کروماته کردن به عملیات شیمیایی و الکتروشیمیایی فلزات و پوشش‌های فلزی در محلول‌هایی اطلاق می‌شود که در آن‌ها اسید کرومیک، کرومات یا دی‌کرومات جزء اصلی باشد [۶، ۷]. ساده‌ترین حالت کروم (VI) یون کرومات ( $\text{CrO}_4^{2-}$ ) است [۸]. کروم در حالت شش ظرفیتی آن بسیار سمی است [۹]. تحقیقات سال‌های اخیر نشان دادند که نانو اکسیدهای آهن جاذبه‌ای اقتصادی هستند که حاوی ظرفیت جذب بالا و سرعت جذب سریع بوده و به سادگی بازیافت می‌شوند. حذف رنگ‌های آزو (قرمز ۱۲۰ و ۲،۴ پپریدیلازو رزورسینول) از محلول آبی با استفاده از نانوذره اکسید مغناطیسی آهن در شرایط بهینه مقدار نانوذره ۶۰ mg و pH حدود ۲/۵ تقریباً ۹۸٪ حذف را نشان داد و ماکریزم ۱۶۶/۶۷ mg/g بود [۱۰]. حذف آرسنیک از آبهای زیرزمینی با نانوذرات مذکور که توسط ضایعات بوکسیتی در محلول آمونیاک به دست آمد بیانگر ظرفیت جذب بالای آرسنیک توسط نانوذره اکسید آهن می‌باشد [۱۱]. حذف یون‌های نیکل، سرب و کادمیوم از آب توسط نانوذرات اکسید آهن دارای گروه‌های عاملی کربوکسی متیل- $\beta$ -سیکلوكسترین نشان داد که اتصال پلیمر به نانوذرات به دلیل دارا بودن گروه‌های هیدروکسیل و کربوکسیل توانایی جذب را افزایش می‌دهد و ظرفیت جذب به قدرت یونی بستگی دارد [۱۲]. حذف و بازیافت سرب از فاضلاب توسط نانوجاذبه‌ای مغناطیسی اکسید آهن مورد بررسی قرار گرفته و pH مناسب در این تحقیق حدود ۵/۵ بود، همچنین زمان تعادلی جذب در طی آزمایش‌ها ۳۰ دقیقه به دست آمد [۱۳]. حذف سرب از محیط آبی توسط نانوذرات مغناطیسی اکسید آهن با گروه عاملی آمینو نشان‌دهنده ظرفیت جذب بالای نانوذره مذکور بوده و از مدل سینتیکی درجه دوم و جذب شیمیایی تبعیت کرد. در دمای ۲۵ درجه سانتی‌گراد و pH حدود ۵، ماکریزم ظرفیت جذب ۴۰/۱۰ mg/g صورت گرفت [۱۴]. جذب سطحی

## جداسازی کروم (VI) از فاضلاب آبکاری با استفاده نانوذره مغناطیسی آهن



شکل(۲) تصویر میکروسکوپ الکترونی عبوری  $\text{Fe}_3\text{O}_4$

را رقیق کرده تا قابل اندازه‌گیری توسط دستگاه باشد. هر آزمایش با ۳ بار تکرار صورت گرفت. شکل ۱ مراحل انجام آزمایش را نشان می‌دهد.

### ۳-۳- مراحل تحقیق

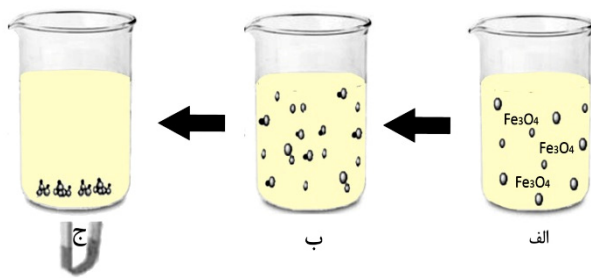
در این تحقیق به بررسی عملکرد فرآیند نانوذره مغناطیسی  $\text{Fe}_3\text{O}_4$  در حذف آلاینده کروم از فاضلاب پرداخته می‌شود. همچنین نقش و تأثیر پارامترهای مانند pH، زمان انجام آزمایش، میزان نانوذره و دما تحت آزمایش قرار گرفته و مکانیسم و سینتیک جذب مورد بحث و بررسی واقع می‌شود.

### ۳- نتایج و تحلیل یافته‌ها

در روش حذف کروم فاضلاب در تماس با نانوذره قرار گرفته و سطوح جاذب نانوذره جایگاهی برای جذب آلاینده می‌باشد. بدین طریق آلاینده جذب نانوذره می‌گردد. ساختار نانوذره مورد بررسی، توسط میکروسکوپ الکترونی عبوری (TEM) مطابق شکل ۲ تعیین شد.

نتایج حاصل از آزمایش و درصد حذف کروم با غلظت اولیه  $5000 \text{ mg/L}$  در pH ۱ متفاوت در شکل ۳ و جدول ۱ آورده شده است. برای تعیین pH بهینه آزمایش‌ها در دمای اولیه  $25^\circ\text{C}$ ، زمان آزمایش  $60 \text{ min}$  و میزان نانوذره  $1 \text{ g}$  به ازا  $100 \text{ میلی لیتر}$  فاضلاب انجام شد.

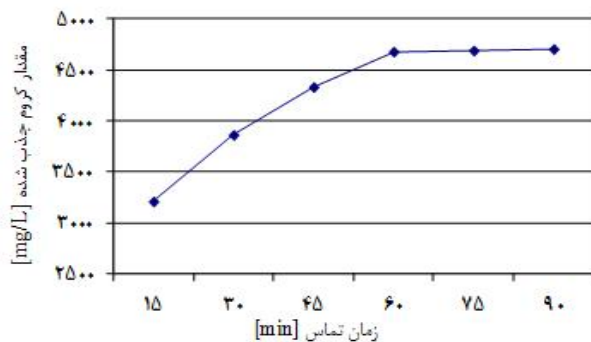
با توجه به جدول ۱، کاهش pH موجب افزایش جذب کروم می‌شود. در شرایط اسیدی ملایم، گونه‌های غالب کروم به شکل آنیون‌های  $\text{CrO}_4^{2-}$  و  $\text{HCrO}_4^-$  با نسبت بیشتر  $\text{HCrO}_4^-$  هستند. در pH  $1 \text{ km}$ ، مکان‌های جذب با یون  $\text{H}^+$  بار مثبت یافته و درنتیجه جاذبه الکترواستاتیک بین سطح جاذب و آنیون‌های کروم (VI) و به تبع آن میزان جذب افزایش می‌یابد.



شکل (۱) مراحل جذب کروم توسط نانوذره  $\text{Fe}_3\text{O}_4$  و جداسازی آن:  
الف- نانوذرات مغناطیسی آهن در فاضلاب، ب- جذب کروم توسط نانوذرات و ج- جداسازی مغناطیسی نانوذرات همراه با کروم جذب شده

ذرات مذکور توسط اسید سولفوریک  $1\text{N}$  شسته و بازیافت شد. سپس نانوذره مغناطیسی توسط هیدروکسید سدیم  $1\text{N}$  احیا شده و با آب مقطر شسته شد.

تنظیم pH از ۱ تا ۹ توسط اسید سولفوریک و هیدروکسید سدیم  $1\text{N}$ ، با در نظر گرفتن شرایط تخلیه به محیط‌زیست و به منظور تعیین pH بهینه صورت گرفت. دمای آزمایش‌ها  $15^\circ\text{C}$  تا  $30^\circ\text{C}$  و زمان  $90 \text{ min}$  تا  $15 \text{ min}$  در نظر گرفته شد. به جهت معلق شدن نانوذرات در محلول و تماس جاذب و جذب‌شونده، آزمایش‌ها با دور بهینه همزن  $200 \text{ rpm}$  انجام شد [۱۷]. در صورت عدم معلق شدن کامل ذرات چون با یک روش تمام آزمایش‌ها انجام شد، خطای احتمالی در بازه یکسان بوده درنتیجه در مقایسه نتایج نهایی تأثیری نداشت. قبل و پس از انجام آزمایش‌ها میزان کروم نمونه‌ها بر اساس روش‌های استاندارد آزمایش‌های آب و فاضلاب مورد بررسی قرار گرفت [۱۸]. پس از آزمایش جهت تعیین غلظت کروم باقیمانده، نمونه‌برداری توسط ظروف پلی‌پروپیلن  $200 \text{ میلی لیتری}$  صورت گرفت. نمونه‌ها در دمای  $4^\circ\text{C}$  نگهداری شده و قبل از مدت  $24 \text{ ساعت}$  از انجام آزمایش اندازه‌گیری شد. در این تحقیق جهت اندازه‌گیری غلظت کروم، از دستگاه اسپکتروفوتومتر (HACH, DR5000) در طول موج  $540 \text{ nm}$  نانومتر استفاده شد. ابتدا یکی از سل‌ها با  $10 \text{ میلی لیتر}$  نمونه پرشده، مطابق دستورالعمل دستگاه در جایگاه قرار داده و دستگاه در حالت صفر قرار گرفت. سپس سل دوم را هم با  $10 \text{ میلی لیتر}$  نمونه پر کرده و به آن معرف از پیش آمده شده کروم که حاوی دی‌فنیل کاربازاند است اضافه شد. در صورت وجود کروم رنگ محلول ارغوانی خواهد شد. پس از  $5 \text{ دقیقه}$  آن را داخل دستگاه قرار داده و مقدار کروم بر حسب میلی‌گرم بر لیتر خوانده شد. با توجه به این نکته که محدوده قرائت دستگاه محدود می‌باشد لازم است که غلظت‌های بالای کروم



شکل (۴) مقایسه جذب کروم در زمان های مختلف آزمایش با استفاده از نانوذره مغناطیسی در غلظت کروم اولیه  $5000 \text{ mg/L}$

جدول (۱) مقایسه کروم اولیه و نهایی پس از آزمایش با نانوذره مغناطیسی در pH های مختلف و غلظت کروم اولیه  $5000 \text{ mg/L}$

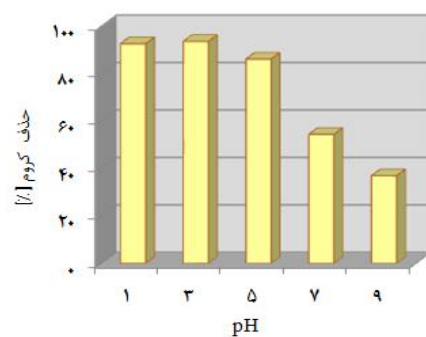
انحراف معیار	(میانگین) غلظت کروم نهایی (mg/L)	pH اولیه
۱/۸۱	۳۶۹/۸	۱۰/۴
۰/۵	۳۲۲/۵	۳/۱
۲/۱	۶۹۳/۲۵	۵/۰۷
۱/۷	۲۲۸۱/۰۱	۶/۹۵
۱/۳۶	۳۱۵۲/۳۷	۹/۱۲

جدول (۲) مقایسه کروم اولیه و نهایی پس از آزمایش با نانوذره مغناطیسی در زمان های مختلف و غلظت کروم اولیه  $5000 \text{ mg/L}$

درصد حذف (%)	انحراف معیار	غلظت کروم نهایی (میانگین) (mg/L)	زمان آزمایش (min)
۶۴/۱۹	۳/۵	۱۷۹۰/۶	۱۵
۷۷/۲۳	۳/۳	۱۱۳۸/۲۱	۳۰
۸۶/۶۳	۱/۵	۶۶۸/۶۵	۴۵
۹۳/۵۵	۰/۵	۳۲۲/۵	۶۰
۹۳/۷۷	۱/۲	۳۱۱/۳	۷۵
۹۴/۰۷	۳/۰۹	۲۹۶/۵۳	۹۰

بررسی نقطه ایزوالکتریک نشانگر تأثیر pH بر بار مولکولی می‌باشد. برای کاتیونهای مذکور pH بین ۷ تا ۱۲ و آنیون فسفات که تمایل به جذب پروتون‌ها دارد، pH کمتر از نقطه ایزوالکتریک آب یعنی کمتر از ۷ بود؛ بنابراین با کاهش pH راندمان حذف آنیون‌ها افزایش می‌باید [۲۱].

برای تعیین زمان بهینه، آزمایش‌هایی در زمان‌های ۱۵، ۳۰، ۴۵، ۶۰، ۷۵ و ۹۰ min انجام گرفت. با توجه به نتایج (شکل ۴ و جدول ۲)، زمان بهینه  $60 \text{ min}$  در نظر گرفته شد. با افزایش زمان آزمایش میزان حذف تا زمانی که مکان‌های جذب اشباع شوند، افزایش می‌باید و از آن پس با افزایش زمان

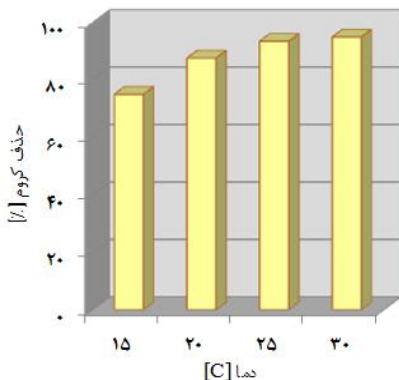


شکل (۳) مقایسه درصد حذف کروم در pH های مختلف با استفاده از نانوذره مغناطیسی با غلظت کروم اولیه  $5000 \text{ mg/L}$

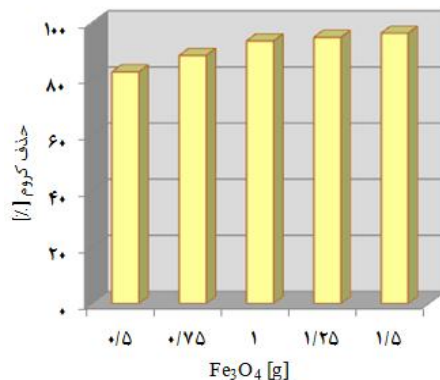
تحت شرایط اسیدی قوی میزان جذب کاهش می‌باید. در این شرایط، گونه کروم غالب به فرم  $\text{H}_2\text{CrO}_4$  می‌باشد، بنابراین جذب الکترواستاتیک قوی بار منفی گونه کروم با سطح پروتونه شده جاذب کاهش می‌باید. در صورت افزایش pH، گونه کروم غالب  $\text{CrO}_4^{2-}$  می‌باشد، همچنین سطح پروتونه شده جاذب ضعیف شده و منجر به کاهش جذب آنیون‌های کروم می‌گذدد و جذب سطحی رخ می‌دهد. به علت همزمانی تبادل یونی و فعل و انفعال الکترواستاتیکی، جایگاه سطحی جاذب توسط بارهای منفی یون‌های هیدروکسید اشغال شده و دافعه الکترواستاتیکی بین آنیون کروم و ذرات جاذب حاوی بار منفی افزایش می‌باید، بنابراین کارایی جذب سطحی با افزایش pH کاهش می‌باید. نتایج آزمایش‌های انجام شده در این تحقیق نشان می‌دهد که میزان pH برای حذف کروم توسط نانوذره مغناطیسی حدود ۳ می‌باشد، زیرا گونه غالب کروم در این pH به صورت آنیون بوده و توسط جاذبه الکترواستاتیکی بین نانوذرات حاوی پروتون جذب می‌شود.

تحقیقات Singh و همکارانش روی حذف کروم (VI) با غلظت  $4 \text{ mg/L}$  از محیط آبی توسط نانوذرات مغناطیسی اکسید آهن با گروه عاملی نشاسته نشان داد که بهترین pH برای حذف کروم حدود ۲ می‌باشد [۱۶]. نتایج تحقیقات Jing و همکارانش روی حذف کروم (VI) با غلظت  $100 \text{ mg/L}$  توسط  $\text{MnFe}_2\text{O}_4$ ,  $\text{MgFe}_2\text{O}_4$ ,  $\text{ZnFe}_2\text{O}_4$ ,  $\text{CuFe}_2\text{O}_4$ ,  $\text{NiFe}_2\text{O}_4$ ,  $\text{CoFe}_2\text{O}_4$  نشان داد که pH عامل مؤثر جذب است [۱۹]. طبق گزارشات Liu و همکارانش روی حذف کروم (VI) توسط نانوذرات آهن صفر پیوند یافته به بستر اپیکلروهیدرین-کیتوزان عامل pH نقش مهمی در فرآیند دارد. ظرفیت احیا کروم با کاهش pH افزایش می‌باید [۲۰]. مطالعات Ji روی حذف سه کاتیون نیکل، روی و مس و آنیون فسفات توسط نانوذره آهن صفر از محیط آبی و

## جداسازی کروم (VI) از فاضلاب آبکاری با استفاده نانوذره مغناطیسی آهن



شکل (۶) مقایسه درصد حذف کروم در دماهای مختلف با استفاده از نانوذره مغناطیسی و غلظت کروم اولیه  $5000 \text{ mg/L}$



شکل (۵) مقایسه درصد حذف کروم با میزان متفاوت نانوذره Fe<sub>3</sub>O<sub>4</sub> در غلظت کروم اولیه  $5000 \text{ mg/L}$

جدول (۳) مقایسه کروم اولیه و نهایی پس از آزمایش با میزان متفاوت نانوذره مغناطیسی در غلظت کروم اولیه  $5000 \text{ mg/L}$

انحراف معیار	غلظت کروم نهایی (میانگین) (mg/L)	میزان نانوذره (g)
۲/۲۵	۸۷۵/۳	۰/۱۵
۲/۴	۵۸۱/۰۲	۰/۷۵
۰/۵	۳۲۲/۵	۱
۱/۵۱	۲۵۹/۳۶	۱/۲۵
۲/۱۷	۱۸۶/۵	۱/۵

جدول (۴) مقایسه کروم اولیه و نهایی پس از آزمایش با نانوذره مغناطیسی در دماهای متفاوت و غلظت کروم اولیه  $5000 \text{ mg/L}$

انحراف معیار	غلظت کروم نهایی (میانگین) (mg/L)	دما اولیه (°C)
۲/۰۳	۱۲۴۵/۲۱	۱۵
۲/۵۲	۶۱۳/۸۹	۲۰
۲/۲۹	۳۲۲/۵	۲۵
۰/۵	۲۴۶/۳۵	۳۰

بازدهی حذف تغییر کمی دارد و استفاده کردن بیش از حد آن صرفه اقتصادی ندارد، لذا به جهت صرفه‌جویی در میزان مصرف نانوذره، به منظور یافتن سایر پارامترهای بهینه، آزمایش‌ها با میزان  $g$  نانوذره انجام شد.

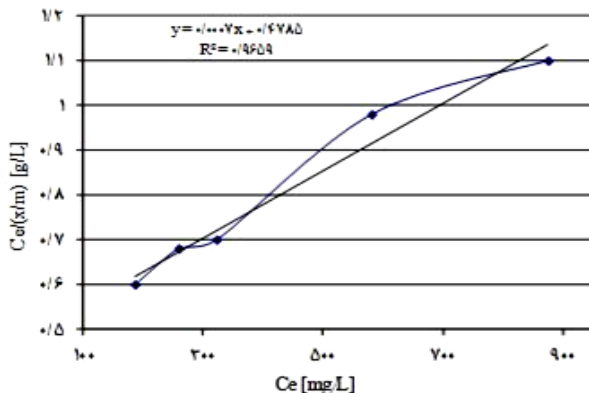
به منظور تعیین دمای بهینه، آزمایش‌هایی در دماهای مختلف  $15$ ,  $20$ ,  $25$  و  $30^{\circ}\text{C}$  صورت گرفت. در این سری آزمایش‌ها زمان آزمایش  $60\text{ min}$ , میزان نانوذره  $1\text{ g}$  و pH اولیه  $3$  در نظر گرفته شد. تأثیر دمای اولیه آزمایش در میزان حذف کروم با نانوذره در جدول ۴ و شکل ۶ نشان داده شده است.

نتایج حاصل از آزمایش‌ها حاکی از آن است که واکنش‌های موجود در فرآیند جذب گرمایی‌بوده و با افزایش دما به علت افزایش تحرک یون‌ها، میزان جذب افزایش می‌یابد.

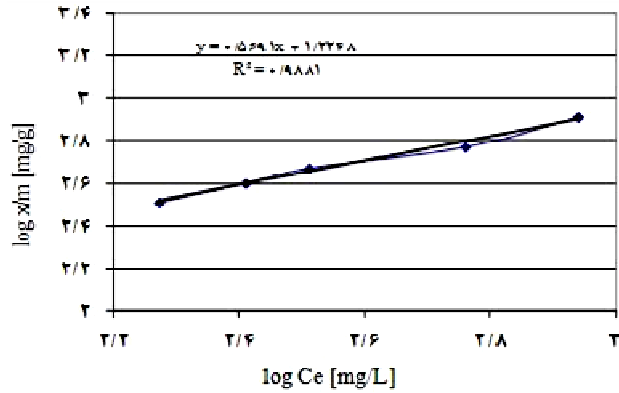
جدیبی صورت نخواهد گرفت. در این آزمایش‌ها میزان نانوذره  $1\text{ g}$  به ازا  $100$  میلی‌لیتر فاضلاب، دما  $25^{\circ}\text{C}$  و pH اولیه  $3$  در نظر گرفته شد.

Jing و همکارانش به بررسی حذف کروم (VI) با نانوذرات متفاوت مغناطیسی، زمان تماس را بین  $5$  تا  $60\text{ min}$  در نظر گرفتند [۱۹]. تحقیقات Shen و همکارانش روی حذف یون‌های فلزی نیکل، مس، کادمیوم و کروم (VI) توسط نانوذرات مغناطیسی اکسید آهن نشان داد که زمان تماس عامل مهمی در فرآیند جذب می‌باشد و با افزایش زمان آزمایش، میزان جذب نیز افزایش می‌یابد [۲۲]. برای به دست آوردن میزان نانوذره، آزمایش‌ها با میزان  $0/5$ ,  $۰/۷۵$ ,  $۱$ ,  $۱/۲۵$  و  $۱/۵$  گرم نانوذره مغناطیسی  $\text{Fe}_3\text{O}_4$  به ازاء  $100\text{ mL}$  فاضلاب در pH حدود  $3$ ، زمان  $60\text{ min}$  و دمای  $25^{\circ}\text{C}$  صورت گرفت. نتایج در شکل ۵ و جدول ۳ آورده شده است. با توجه به این که جذب آلاینده توسط نانوذرات در جایگاه‌های ویژه‌ای که در نانوذرات وجود دارد، صورت می‌گیرد. نتایج نشان می‌دهد که با افزایش میزان نانوذره جایگاه‌های جذب افزایش بافت، درنتیجه درصد حذف کروم از فاضلاب افزایش می‌یابد و از مقدار باقیمانده آن در فاضلاب کاسته می‌شود.

Jing و همکارانش در آزمایش‌های خود روی حذف کروم (VI) با غلظت  $100 \text{ mg/L}$ , میزان نانوذرات مغناطیسی را  $5 \text{ g/L}$  در نظر گرفتند [۱۹]. Liu و همکارانش حذف کروم (VI) توسط نانوذرات آهن صفر با بستر اپیکلروهیدرین-کیتوزان را مطالعه کردند. نتایج نشان داد که میزان نانوذرات یکی از عوامل مهم در کارایی جذب است که با افزایش مقدار جاذب افزایش می‌یابد [۲۰]. نتایج تحقیق حاضر نشان داد که با افزایش مقدار نانوذره به علت افزایش مکان‌های جذب، میزان حذف آلاینده از محیط افزایش می‌یابد. همچنین نتایج موجود در جدول ۳ نشان می‌دهد که با افزایش زیاد میزان نانوذره،



شکل (۸) نمودار تعیین ثابت‌های ایزوترم لانگمویر



شکل (۷) نمودار تعیین ثابت‌های ایزوترم فروندلیج

$$q_e = K C_e^{\frac{1}{n}} \quad (1)$$

$$q_e = \frac{x}{m} \quad (2)$$

$q_e$  جرم ماده جذب‌شونده به جرم جاذب در حالت تعادل  
 $C_e$  (mg/g) غلظت ماده جذب‌شونده در حال تعادل (mg/L)  
 $m$  جرم جاذب (g)  
 $x$  جرم ماده جذب‌شونده (mg)  
 $K$  و  $n$  ثابت فروندلیج می‌باشد.

فرم خطی معادله لانگمویر برای جذب سطحی مواد جذب‌شونده روی ماده جاذب به صورت رابطه زیر می‌باشد:

$$\frac{C_e}{q_e} = \frac{1}{b \cdot q_m} + \frac{C_e}{q_m} \quad (3)$$

$q_e$  میزان جذب (mg/L)  $q_m$  ظرفیت جذب سطحی ماکریم (mg/g)  $b$  ثابت لانگمویر و ضریب وابسته به انرژی

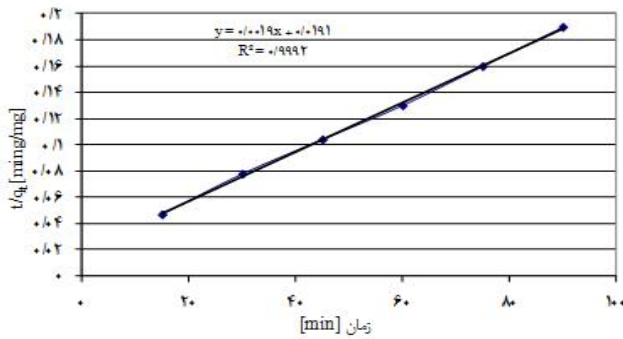
جذب و به قدرت پیووند جذب ارتباط دارد [۲۳، ۲۴]. با ملاحظه شکل‌های ۷ و ۸ و مقادیر  $R^2$  (ضریب رگرسیون) می‌توان نتیجه گرفت که ایزوترم فروندلیج برای جذب کروم بر نانوذره مدل مناسبی است؛ زیرا جاذب سطوح ناهمگن داشته و مکان‌های جذب انرژی جذب متفاوت دارند. علت این امر به توزیع مکان‌های جذب و ساختمان سطح ارتباط دارد. با کاهش pH میزان جذب افزایش می‌یابد زیرا یون‌های پروتون جذب نانوذره شده سپس جاذبه الکترواستاتیکی با کروم برقرار می‌کنند بنابراین مکان‌های جذب ناهمگن می‌باشد. نتایج حاصل از تحقیقات Burks و همکارانش در حذف کروم (VI) توسط نانوذرات اکسید پارامغناطیسی آهن با گروه عاملی مرکاپتوروپیونیک اسید از محیط آبی نشان داد که ایزوترم فروندلیج مدل مناسب‌تری است [۲۴].

و تعداد یون‌هایی که در مکان‌های فعال جاذب می‌نشینند، زیاد می‌شود. با ملاحظه جدول ۴ اختلاف بین غلظت کروم نهایی پس از آزمایش در دو دمای ۲۵ و ۳۰°C کم شده، بنابراین در این آزمایش‌ها دمای بهینه ۲۵°C در نظر گرفته شد، زیرا با افزایش دما میزان مصرف انرژی بالاتر می‌رود.

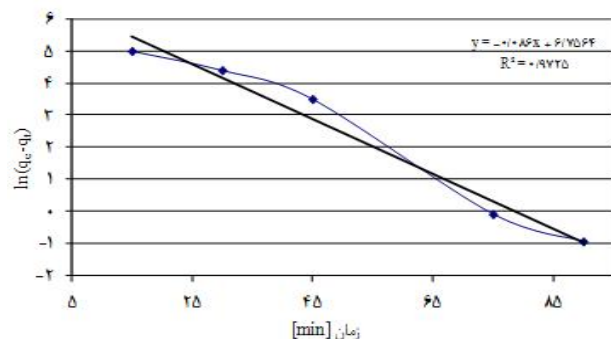
تحقیقات  $Tu$  و همکارانش بر روی جذب سطحی کادمیوم توسط نانوذره  $\text{CuFe}_2\text{O}_4$  در محیط‌های آبی نشان داد که این واکنش‌ها گرمایی هستند [۱۵]. Liu و همکارانش در آزمایش‌های حذف کروم (VI) توسط نانوذرات آهن صفر با بستر اپیکلوروهیدرین-کیتوزان نشان دادند، دما عامل مهم در کارایی جذب است و با افزایش دما ظرفیت حذف کروم افزایش می‌یابد [۲۰]. همچنین تحقیقات روی حذف یون‌های فلزی نیکل، مس، کادمیوم و کروم (VI) توسط نانوذرات مغناطیسی اکسید آهن توسط Shen و همکارانش نشان داد که مکانیسم جذب به شدت تحت تأثیر دمای محیط قرار دارد [۲۲].

رابطه تعادلی بین ظرفیت جذب جاذب‌ها و غلظت اولیه توسط ایزوترم جذب یون کروم شش ظرفیتی توسط نانوذره مغناطیسی آهن، ثابت‌های ایزوترم لانگمویر و فروندلیج با داده‌ها تطبیق داده شد. با استفاده از ایزوترمهای فروندلیج و لانگمویر به توانایی و ظرفیت جاذب در جذب یون‌های کروم بی‌برده می‌شود. در ایزوترم فروندلیج، جذب روی سطوح هتروژن (ناهمگن) جاذب که دارای انرژی یکسانی نیستند، اتفاق می‌افتد. مدل لانگمویر، فرض بر جذب تک لایه‌ای و عدم جابجایی ماده جذب شده می‌باشد و جذب روی سطوح هموژن (همگن) که دارای انرژی یکسان هستند، اتفاق می‌افتد. ایزوترمهای جذب در دمای ۲۵°C تعیین می‌شوند. مدل فروندلیج عبارت است از:

## جداسازی کروم (VI) از فاضلاب آبکاری با استفاده نانوذره مغناطیسی آهن



شکل (۱۰) کاربرد مدل درجه دوم شبه کاذب، سینتیک جذب کروم بر نانوذره مغناطیسی آهن



شکل (۹) کاربرد مدل درجه اول شبه کاذب، سینتیک جذب کروم بر نانوذره مغناطیسی آهن

جذب درجه دوم می‌باشد. در تحقیقات حذف سرب از محیط آبی توسط نانوذرات مغناطیسی آهن حاوی گروههای عاملی آمینو که توسط Tan و همکارانش صورت گرفت، سینتیک جذب به دلیل جذب شیمیایی از درجه دو تبعیت کرد [۱۴]. مطالعات Burks و همکارانش برای جذب کروم از محیط آبی روی نانوذرات اکسید پارامغناطیسی آهن با گروه عاملی مرکاپتوپریوینیک اسید نشان داد که سینتیک جذب از مدل درجه دوم تبعیت می‌کند [۲۴].

## ۴- جمع‌بندی

نانوذره مغناطیسی اکسید آهن برای حذف کروم (VI) از فاضلاب آبکاری استفاده شد. مکانیسم حذف کروم با فرآیند جذب، تحت تأثیر pH قرار دارد. pH بر جذب سطحی و حذف مؤثر را تغییر می‌دهد. در pH کم، جذب الکترواستاتیک و در pH زیاد جذب سطحی فیزیکی اتفاق می‌افتد. تحت شرایط اسیدی ملایم تعامل بین گونه‌های بار منفی کروم و سطح پروتونه حاوی بار مثبت منجر به جذب مطلوب می‌شود. تحت شرایط بازی قوی دافعه الکترواستاتیکی وجود داشته و جذب ضعیف رخ می‌دهد. واکنش‌های حذف کروم گرمایی بوده، بنابراین دمای بالا مناسب می‌باشد. افزایش زمان آزمایش تا زمانی منجر به افزایش حذف کروم می‌شود که مکان‌های فعال جذب جاذب اشباع نشوند. پس از اشباع مکان‌های فعلی دیگر افزایش زمان تأثیری در حذف آلایینده ندارد. افزایش میزان نانوذره میزان حذف کروم را افزایش می‌دهد. در ایزووترم فرونالیچ، جذب روی سطوح هتروژن جاذب که دارای انرژی یکسانی نیستند، اتفاق می‌افتد. نتایج این تحقیق نشان داد که ایزووترم فرونالیچ مدل مناسبی است و سینتیک جذب از درجه دوم تبعیت می‌کند. نانوذره مغناطیسی آهن دارای جذب مناسب کروم (VI) و قابل جداسازی و استفاده مجدد است.

برای بررسی سینتیک جذب از مدل‌های شبه کاذب درجه اول و درجه دوم استفاده شد. مدل ارائه شده برای سینتیک درجه اول به صورت زیر است:

$$\ln(q_e - q_t) = \ln(q_e) - k_1 t \quad (4)$$

$q_e$  مقدار ماده جذب شدنی در حالت تعادل (mg/g)،  $q_t$  مقدار ماده جذب شدنی در زمان  $t$  (mg/g)،  $t$  زمان جذب (min)،  $k_1$  ثابت نرخ جذب ( $\text{min}^{-1}$ ) می‌باشند. منحنی این مدل در شکل ۹ ارائه شده است.

معادله درجه دوم شبه کاذب با رابطه زیر بیان می‌شود:

$$\frac{t}{q_t} = \frac{1}{k_2 \cdot q_e^2} + \frac{t}{q_e} \quad (5)$$

$k_2$  نرخ ثابت جذب درجه دوم (g/mg.min) است. رابطه درجه دوم شبه کاذب بیان می‌کند که جذب بستگی به ماده جذب شدنی و جاذب دارد و بر فرآیند جذب شیمیایی علاوه بر جذب فیزیکی اشاره دارد. منحنی خطی  $\frac{t}{q_t}$  در برابر  $t$  در شکل ۱۰ آورده شده است. ضریب همبستگی برای مدل درجه دوم شبه کاذب تقریباً برابر ۱ است که کارایی این مدل را برای توصیف فرآیند جذب کروم بر جاذب نانوذره مغناطیسی نشان می‌دهد.

سینتیک جذب درجه دوم، به جاذب و جذب‌شونده بستگی دارد و مرحله محدود‌کننده جذب، جذب شیمیایی است که شامل نیروهای والانسی است که به اشتراک گذاشتن یا تبادل الکترون به وجود می‌آید. این مطلب به این معنی است که اول جذب از طریق اشغال مکان‌های سطحی صورت می‌گیرد و سپس آلایینده در داخل جاذب پخش شده و واکنش‌های بیشتری مانند تشکیل کمپلکس و پیوندهای هیدروژنی صورت می‌گیرد. در این تحقیق ابتدا یون‌های پروتون جذب شده و سپس نیروی جاذبه الکترواستاتیکی با یون کروم برقرار می‌کند؛ بنابراین سینتیک

“ $\text{Fe}_3\text{O}_4$ /cyclodextrin polymer nanocomposites for selective heavy metals removal from industrial wastewater,” *Carbohydrate*, 91(1), 322-332.

[13] N.N. Nassar (2010) “Rapid removal and recovery of  $\text{Pb}(\text{II})$  from wastewater by magnetic nanoadsorbents,” *Journal of Hazardous Materials*, 184, 538–546.

[14] Y. Tan, M. Chen, Y. Hao (2012) “High efficient removal of  $\text{Pb}$  (II) by amino-functionalized  $\text{Fe}_3\text{O}_4$  magnetic nanoparticles,” *Chemical Engineering Journal*, 191, 104-111.

[15] Y. Tu, C. You, C. Chang (2012) “Kinetics and thermodynamics of adsorption for  $\text{Cd}$  on green manufactured nanoparticles,” *Journal of Hazardous Materials*, 235-236, 116-122.

[16] P.N. Singh, D. Tiwary, I. Sinha (2014) “Improved removal of  $\text{Cr(VI)}$  by starch functionalized iron oxide nanoparticles,” *Journal of Environmental Chemical Engineering*, 2, 2252–2258.

[17] G. Absalan, M. Asadi, S. Kamran, L. Sheikhian, D.M. Goltz, (2011) “Removal of reactive red-120 and 4-(2-pyridylazo) resorcinol from aqueous samples by  $\text{Fe}_3\text{O}_4$  magnetic nanoparticles using ionic liquid as modifier,” *Journal of Hazardous Materials*, 192(2), 476-484.

[18] M.A. Franson (2005) *Standard Methods for the examination of water and wastewater*, Prepared and published jointly by American public health association, American water works association, Water environment federation, 21<sup>st</sup> Edition.

[19] H. Jing, M.C.L. Irene, C. Guohua (2007) “Comparative study of various magnetic nanoparticles for  $\text{Cr(VI)}$  removal,” *Separation and Purification Technology*, 56(3), 249-256.

[20] T. Liu, Z.L. Wang, L. Zhao, X. Yang (2012) “Enhanced chitosan,  $\text{Fe}^0$ -nanoparticles beads for hexavalent chromium removal from wastewater,” *Chemical Engineering Journal*, 189–190, 196– 202.

[21] Y. Ji (2014) “Ions removal by iron nanoparticles: a study on solid–water interface with zeta potential,” *Colloids and Surfaces A: Physicochemical and Engineering Aspects*, 444, 1– 8.

[22] Y.F. Shen, J. Tang, Z.H. Nie, Y.D. Wang, Y. Ren, L. Zuo (2009) “Preparation and application of magnetic  $\text{Fe}_3\text{O}_4$  nanoparticles for wastewater purification,” *Separation and Purification Technology*, 68, 312–319.

[23] T. Hao, C. Yang, X. Rao, J. Wang, C. Niu, X. Su (2014) “Facile additive-free synthesis of iron oxide nanoparticles for efficient adsorptive removal of Congo red and  $\text{Cr(VI)}$ ,” *Applied Surface Science*, 292, 174– 180.

[24] T. Burks, M. Avila, F. Akhtar, M. Gothelid, P.C. Lansaker, M.S. Toprak, M. Muhammed, A. Uheida (2014) “Studies on the adsorption of chromium(VI) onto 3-Mercaptopropionic acid coated superparamagnetic iron oxide nanoparticles,” *Journal of Colloid and Interface Science*, 425, 36–43.

**تشکر و قدردانی**  
نویسنده‌گان این مقاله از کارگاه آنکارای زمانی کمال تشکر و قدردانی را دارند.

## مراجع

- [1] M. Murugananthan, G. Bhaskar, S. Prabhakar (2005) “Removal of tannins and polyhydroxy phenols by electrochemical techniques,” *Journal of Chemical Technology and Biotechnology*, 80(10), 1188-1197.
- [2] F. Akbal, S. Camc (2011) “Copper, chromium and nickel removal from metal plating wastewater by electrocoagulation,” *Desalination*, 269, 214–222.
- [3] M.G. Arroyo, V. Perez-Herranz, M.T. Montanes, J. Garcia-Anton, J.L. Guinon (2009) “Effect of pH and chloride concentration on the removal of hexavalent chromium in a batch electrocoagulation reactor,” *Journal of Hazardous Materials*, 169, 1127–1133.
- [4] M. Bhatti, A. Reddy, A. Thukral (2009) “Electrocoagulation removal of  $\text{Cr(VI)}$  from simulated wastewater using response surface methodology,” *Journal of Hazardous Materials*, 172, 839–846.
- [5] L. Sun, E. Miznikov, L. Wang, A. Adin (2009) “Nickel removal from wastewater by electroflocculation-filtration hybridization,” *Desalination*, 249, 832–836.
- [6] محمد. قربانی، (۱۳۹۱)، «پوشش دادن فلزات»، انتشارات علمی دانشگاه صنعتی شریف.
- [7] جی.وبر.تی. بیستک، ترجمه عبدالله. افشار، (۱۳۸۲)، ”پوشش های تبدیلی شیمیایی و الکترولیتی”， چاپ دوم، انتشارات دانشگاه صنعتی شریف.
- [8] چارلز. مورتیمر، ترجمه علی. پورجواوی و همکاران، (۱۳۸۸)، ”شیمی عمومی”， مرکز نشر دانشگاهی، چاپ هشتم، جلد دوم.
- [9] A. Dors, M. Pereira, M.C. Bartolome, V. Lopez-Rodas, E. Costas, S. Sanchez-Fortun (2010) “Toxic effects and specific chromium acquired resistance in selected strains of *Dyctyosphaerium chlorelloides*,” *Chemosphere*, 81(2), 282–287.
- [10] G. Absalan, M. Asadi, S. Kamran, L. Sheikhian, D. Goltz (2011) “Removal of reactive red-120 and 4-(2-pyridylazo) resorcinol from aqueous samples by  $\text{Fe}_3\text{O}_4$  magnetic nanoparticles using ionic liquid as modifier,” *Journal of Hazardous Materials*, 192(2), 476-484.
- [11] I. Akin, G. Arslan, A. Tor, M. Ersoz, Y. Cengeloglu (2012) “Arsenic(V) removal from underground water by magnetic nanoparticles synthesized from waste red mud,” *Journal of Hazardous Materials*, 235-236, 62-68.
- [12] A.Z. M.Badruddoza, Z.B. Zakir Shawon, W.J. Daniel Tay, K. Hidajat, M. Shahab Uddin (2013)

## Removal of Cr (VI) from plating wastewater using magnetic nanoparticles

Toktam Shahriari<sup>1\*</sup>, Zeinab Mojtabahedzadeh<sup>1</sup>

1. Dept. of Environmental Engineering, Faculty of Environment, University of Tehran, Tehran, Iran

### ABSTRACT

The wastewater from plating industry usually contains high amounts of chromium. In this study, the removal of chromium (VI) from plating wastewater by magnetic  $\text{Fe}_3\text{O}_4$  nanoparticles was investigated. The wastewater was obtained from a plating workshop in Paytakht Industrial Park located in Tehran, Iran. The studied nanoparticles had an average particle size of 30nm. The effects of pH, reaction time, amount of nanoparticles and temperature on the adsorption process were studied. Results showed that the optimized chromium removal could be achieved at reaction time of 60min, pH of about 3, nanoparticles amount of 1 g/L, and temperature of 25 °C. Moreover, the obtained data were fitted to the Langmuir and Freundlich isotherm constants to study the adsorption mechanism. Results indicated the Freundlich adsorption isotherm model was more suitable. Pseudo-first-order and pseudo-second-order models were employed to study the adsorption kinetics, and it was found that chromium adsorption kinetics followed the second-order model.

### ARTICLE INFO

Article history:

Received in: June 21, 2015

Revised from: Dec. 16, 2015

Accepted: February 07, 2016

Key words:

Adsorption

Chromium

magnetic nanoparticles

plating waste water

toxic metals

All right reserved.

\* Corresponding author

Tshshahriari@ut.ac.ir